

Recherche séquentielle

Idée. Balayer le tableau jusqu'à trouver x .

```
bool trouve=false; int i=0;
while (i<n && !trouve) {
    if (T[i]==x) trouve=true; else i++;
}
return trouve;
```

Complexité : pire/moyenne $\mathcal{O}(n)$, meilleur $\mathcal{O}(1)$ si x en tête.

Recherche dichotomique (binaire)

Précondition : tableau trié.

```
int g=0, d=n-1;
while (g<=d){
    int m=(g+d)/2;
    if (T[m]==x) return true;
    if (T[m]<x) g=m+1; else d=m-1;
}
return false;
```

Complexité : $\mathcal{O}(\log n)$.

Tableau vs. Liste chaînée

Tableau : Accès aléatoire $\mathcal{O}(1)$, taille fixe

Liste chaînée : Insertion/suppression en tête $\mathcal{O}(1)$, accès séquentiel

Piles et files
Pile (LIFO)

- *Tableau*: push/pop en fin $\mathcal{O}(1)$ amorti
- *Liste*: push/pop en tête $\mathcal{O}(1)$

File (FIFO)

- *Tableau*: deux indices (tête/fin), opérations $\mathcal{O}(1)$
- *Liste*: pointeur de fin, en-q/deq $\mathcal{O}(1)$

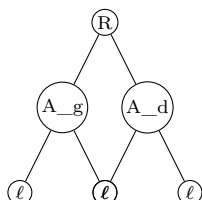
Arbres

Déf. Nœud racine et sous-arbres (éventuellement vides).

Parcours : préordre (racine, A_g , A_d), infixe (A_g , racine, A_d), postordre (A_g , A_d , racine).

Hauteur h (nœuds n) : $\lfloor \log_2 n \rfloor \leq h \leq n-1$.

Schéma AB (ex.)



Tri : borne inférieure

Tout tri par comparaisons $\Rightarrow \Omega(n \log n)$ au pire.

Tri par sélection

Principe : mettre le plus petit au début à chaque passe.

```
for (i=1..n-1){
    k=i;
    for (j=i+1..n) if (T[j]<T[k]) k=j;
    swap(T[i],T[k]);
}
```

Complexité : $\mathcal{O}(n^2)$ (pire/moyen/meilleur).

Tri par insertion

Insérer $T[i]$ dans le préfixe trié.

```
for (i=2..n){
    x=T[i]; j=i-1;
    while (j>=1 && T[j]>x){ T[j+1]=T[j];
        j--; }
    T[j+1]=x;
}
```

Complexité : pire $\mathcal{O}(n^2)$, meilleur $\mathcal{O}(n)$.

Tri rapide (Quicksort)

Partitionner & trier récursivement.

```
q = partition(T,l,r);
quicksort(T,l,q-1); quicksort(T,q+1,r);
```

Complexité : moyenne $\mathcal{O}(n \log n)$, pire $\mathcal{O}(n^2)$.

Tri par ABR

Insérer dans un ABR puis parcours infixe \Rightarrow séquence triée.

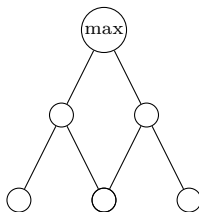
Construction moyenne $\mathcal{O}(n \log n)$ (pire $\mathcal{O}(n^2)$), parcours $\mathcal{O}(n)$.

Tas (Heap)

Représentation tableau

Indices $1..n$: gauche(i) = $2i$, droite(i) = $2i+1$, parent(i) = $\lfloor i/2 \rfloor$.

Schéma de tas



Opérations : *heapify* $\mathcal{O}(\log n)$, build-heap $\mathcal{O}(n)$, insertion/extract-max $\mathcal{O}(\log n)$.

Tri par tas : $\mathcal{O}(n \log n)$.

Hachage

But : appartenance de mots dans une table m cases.

Fonction $h : U \rightarrow \{0, \dots, m-1\}$, facteur de charge $\alpha = n/m$.

Chainage : coût attendu $\mathcal{O}(1 + \alpha)$ pour recherche/insertion; pire $\mathcal{O}(n)$.

Principe de recherche

1. Calculer $i = h(x)$
2. Parcourir la liste du seau i
3. Trouvé \Rightarrow succès sinon échec

Gestion des collisions

- Listes chaînées par seau
- Adressage ouvert (linéaire, quadratique, double hachage)

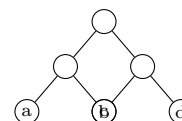
Algorithme de Huffman

Objectif : code préfixe minimisant $L = \sum_c \text{occ}(c) \ell(c)$.

Construction : file de priorité fusionnant toujours les 2 plus petites fréquences.

Complexité : $\mathcal{O}(k \log k)$ pour k caractères.

Schéma (exemple)



Propriété de préfixe : aucun code n'est préfixe d'un autre.

Récapitulatif des complexités

Recherche séquentielle	$\mathcal{O}(n)$
Recherche binaire	$\mathcal{O}(\log n)$
Tri sélection	$\mathcal{O}(n^2)$
Tri insertion	pire $\mathcal{O}(n^2)$, meilleur $\mathcal{O}(n)$
Quicksort	moy. $\mathcal{O}(n \log n)$, pire $\mathcal{O}(n^2)$
Tri par tas	$\mathcal{O}(n \log n)$
Tri via ABR	moy. $\mathcal{O}(n \log n)$, pire $\mathcal{O}(n^2)$
Tas (build / op.)	$\mathcal{O}(n)$ / $\mathcal{O}(\log n)$
Hachage (attendu)	$\mathcal{O}(1)$ par op. si α borné
Huffman	$\mathcal{O}(k \log k)$

Graphes (orientation, bases)

Grphe fini simple orient : $G = (X, A)$, X ensemble fini de sommets, $A \subseteq X \times X$ sans boucle ni multi-arcs.
Degr : $\deg^+(x) = |\{(x, y) \in A\}|$, $\deg^-(x) = |\{(y, x) \in A\}|$.

$$n = |X|, \quad m = |A|, \quad \sum_{x \in X} \deg^+(x) = \sum_{x \in X} \deg^-(x) = m.$$

Chane (chemin) : (x_0, \dots, x_k) avec $(x_i, x_{i+1}) \in A$.
Simple : pas de sommet r

Partition en CFC
 Soient C_1, \dots, C_k les CFC de G :

- $X = \bigcup_{i=1}^k C_i$
- Si $i \neq j$, $C_i \cap C_j = \emptyset$
- Le graphe des CFC (condensation) est un DAG.

Reprsentations
Matrice d'adjacence $M = (m_{xy})$ avec $m_{xy} = 1$ si $(x, y) \in A$, sinon 0.
Listes d'adjacence : pour chaque x , la liste de ses successeurs (ou pr

Plus court & plus long chemin

Plus court chemin (pcc). Longueur = somme des poids $w(a)$.
Absorbant (ngatif) : un circuit de poids $< 0 \Rightarrow$ pas de pcc.
Plus long chemin. NP-difficile en g

Init: $d[s]=0$; $d[x]=+\infty$ pour $x \neq s$; $S=\{\}$
Tant que $S \neq X$:

$u = \operatorname{argmin}_{\{x \in X \setminus S\}} d[x]$
 $S = S \cup \{u\}$
pour $(u,v) \in A$:
 si $d[v] > d[u] + w(u,v)$:
 $d[v] = d[u] + w(u,v)$; $\text{pere}[v]=u$

Complexit : $\mathcal{O}(n^2)$ avec matrice; $\mathcal{O}((n + m) \log n)$ avec tas binaire.
Bellman-Ford (poids quelconques)
 D

Init: $d[s]=0$, $d[x]=+\infty$ sinon
Repeter $n-1$ fois:
 pour chaque arc (u,v) :
 $d[v] = \min(d[v], d[u] + w(u,v))$
Verif circuit negatif:
 s'il existe (u,v) avec $d[v] > d[u] + w(u,v) \rightarrow$ negatif

Complexit : O(nm). Grphe sans circuit (DAG)

Numrotation/ordre topologique
Def. Bijection $\tau : X \rightarrow \{1, \dots, n\}$ telle que $(x, y) \in A \Rightarrow \tau(x) < \tau(y)$.
Propri

Calcul d'un ordre topo (Kahn)
Entree: DAG G
 $S = \{\text{sommets d'ind$ gre $\emptyset\}$; $\text{ordre}=[]$
Tant que S non vide:
 $u = \text{extraire}(S)$
 $\text{ordre.ajouter}(u)$
 pour $(u,v) \in A$:
 enlever (u,v) ; **si** $\text{ind$ gre $(v)=0$:
 $S.ajouter(v)$

Complexit : $\mathcal{O}(n + m)$.
Pcc dans un DAG (Bellman "topo")

Entree: DAG, ordre topologique $t(1..n)$
Init $d[s]=0$; $d[x]=+\infty$ sinon; $\text{pere}[x]=\text{nil}$
Pour $i=1..n$ (dans l'ordre topo):
 $u = t[i]$
 pour $(u,v) \in A$:
 si $d[v] > d[u] + w(u,v)$:

$$d[v] = d[u] + w(u,v); \text{pere}[v]=u$$

Complexit : O(n + m). Grphe non orient

Ar

$$\sum_{x \in X} d(x) = 2m \quad (\text{handshaking}).$$

Chane : (x_0, \dots, x_k) avec $\{x_i, x_{i+1}\} \in E$.
Cycle : $x_0 = x_k$, $k \geq 3$.
Connexit

- Si G est connexe, alors $m \geq n - 1$.
- G connexe \Rightarrow il existe un arbre couvrant.
- Un cycle \Rightarrow on peut retirer une ar

Utilisation typique (p

Soit un parcours (BFS/DFS) depuis s . On enregistre $d(x)$ (distance/num

Table with 3 columns: x, d(x), p(x). Row 1: s, 0, -

Propri

Remarques pratiques

- Choix de structure** : matrice pour graphes denses; listes pour graphes clairs
- Chemins longs/courts dans DAG** : m
- D**tection de cycles : un ordre topo n'existe pas \Leftrightarrow il y a un cycle.

Lemmes et THM (graphes non orientés)

Lemme 2. Si G est sans cycle alors $m \leq n - 1$.

Corollaire. Un arbre a n sommets, $n - 1$ arêtes.

Lemme 3. $a \in E$ est un isthme $\Leftrightarrow a$ n'appartient à *aucun* cycle.

THM équivalences pour G connexe :

1. G connexe et $m = n - 1$
2. G est sans cycle
3. Il existe une unique chaîne simple entre x et y pour tout $x \neq y$
4. G est connexe et l'ajout d'une arête crée un cycle

Algorithme de Kruskal (ACM poids min)

Principe.

1. Trier les arêtes par poids croissant
2. Parcourir la liste et ajouter l'arête si elle ne crée pas de cycle

Test de cycle : union-find (composantes).

Pseudo-code (schéma).

```
ACM = {}
trier E par poids croissant
pour (u,v) dans E:
    if find(u)!=find(v):
        ACM.add((u,v)); union(u,v)
```

Complexité : $\mathcal{O}(m \log m)$ (tri) $+\mathcal{O}(m \alpha(n))$ (UF).

Détection de cycle par CC (version simple)
On maintient $CC[i]$ = numéro de composante du sommet i ; fusion si arête choisie.

Complexité illustrée : $\mathcal{O}(m \log m) + n^2$ (naïf).

Algorithme de Prim (ACM)

Principe. Démarre d'un sommet; à chaque étape, ajoute l'arête la moins chère incidente à l'arbre courant.

```
S = {s}; poids[v]=+inf; pere[v]=nil
maj voisins de s
tant que |S|<n:
    u = argmin_{v notin S} poids[v]
    S = S U {u}
    pour (u,w) arete:
        si w notin S et c(u,w) < poids[w]:
            poids[w]=c(u,w); pere[w]=u
```

Complexité : $\mathcal{O}(n^2)$ (matrice), $\mathcal{O}(m \log n)$ (tas

binaire).

Parcours d'un graphe

Parcours orienté (schéma "marquer/examiner")

- Au départ, aucun sommet marqué; aucune arête traversée
- Choisir un sommet x ; **traverser** (x, y) si non traversée
- Si y non marqué \Rightarrow marquer y , $père(y) = x$

Boucle sur les arêtes jusqu'à ce que tous les sommets soient examinés.

Coût : $\mathcal{O}(n + m)$.

Parcours non orienté

Même idée avec arêtes $\{x, y\}$; les composantes connexes émergent naturellement.

BFS (largeur) & DFS (profondeur)

BFS (file)

```
marquer s; d[s]=0; Q={s}
while Q non vide:
    u=dequeue(Q)
    pour (u,v):
        si v non marque:
            marquer v; d[v]=d[u]+1; pere[v]=u;
            enqueue(Q,v)
```

Propriété. $d[v]$ = distance minimale (non pondérée). **Complexité.** $\mathcal{O}(n + m)$.

DFS (pile/récurif)

```
DFS(u):
    pre[u]=++time
    pour (u,v):
        si v non visite: pere[v]=u; DFS(v)
    post[u]=++time
```

Numérotations pré/postfixe. $pre[u]$ à l'entrée, $post[u]$ à la sortie. Utile pour CFC/-topo.

CFC (composantes fortement connexes)

Kosaraju (2 DFS).

1. DFS sur G pour obtenir l'ordre décroissant de $post$.
2. DFS sur G^T en suivant cet ordre; chaque arbre découvert \Rightarrow une CFC.

Complexité : $\mathcal{O}(n + m)$.

Flot maximum & coupe minimum

Réseau. $G = (X, A)$ orienté valué par capacités $c : A \rightarrow \mathbb{R}_+$; source s , puits t .

Flot. $f : A \rightarrow \mathbb{R}$ tel que :

- (Capacité) $0 \leq f(x, y) \leq c(x, y)$
- (Conservation) $\sum_y f(y, x) = \sum_y f(x, y)$ pour $x \neq s, t$

Valeur. $|f| = \sum_y f(s, y) = \sum_y f(y, t)$.

Résiduel. $c_f(x, y) = c(x, y) - f(x, y)$ et arc retour (y, x) de capacité $f(x, y)$.

Théorème (Max-flow / Min-cut)

Pour tout flot f et toute coupe (S, \bar{S}) avec $s \in S$, $t \in \bar{S}$:

$$|f| \leq c(S, \bar{S}) = \sum_{x \in S, y \in \bar{S}} c(x, y),$$

avec égalité $\Leftrightarrow f$ est maximum et la coupe est minimum.

Ford-Fulkerson (chemins augmentants)

Idée.

1. Initialiser $f = 0$; calculer le résiduel G_f
2. Tant qu'il existe un chemin P de s à t dans G_f :
3. $\Delta = \min\{c_f(e) : e \in P\}$; augmenter f de Δ le long de P

Complexité. Dépend du choix des chemins. Avec BFS (Edmonds-Karp) : $\mathcal{O}(nm^2)$.

Arrêt. Aucun chemin augmentant \Rightarrow flot max atteint; les sommets atteignables dans G_f définissent une coupe min.

Notes rapides & rappels

- **Pont/isthme.** Suppression augmente le # de composantes.
- **Arbre couvrant.** $n - 1$ arêtes; unique chemin simple entre deux sommets.
- **DAG.** Numérotation topologique \Leftrightarrow pas de cycle.
- **Choix structures.** Matrice $\Theta(n^2)$ (dense), listes $\Theta(n + m)$ (sparse).
- **Coûts typiques.** BFS/DFS $\mathcal{O}(n + m)$; Kruskal $\mathcal{O}(m \log n)$; Prim $\mathcal{O}(m \log n)$; CFC $\mathcal{O}(n + m)$; Edmonds-Karp $\mathcal{O}(nm^2)$.

Coupes, marquages et flot

Coupe (S, \bar{S}) . $s \in S, t \in \bar{S}$. Capacité $c(S, \bar{S}) = \sum_{x \in S, y \in \bar{S}} c(x, y)$.

Résiduel. $c_f(x, y) = c(x, y) - f(x, y)$ (arc retour (y, x) de capacité $f(x, y)$).

Algorithme de marquage (après arrêt).

- Marquer s .
- Tant qu'il existe un sommet marqué x et un voisin y non marqué tel que

$c_f(x, y) > 0$ (arc direct disponible) ou $c_f(y, x) > 0$ (arc retour),

marquer y .

À la fin, $S = \{\text{sommetts marqués}\}$: les arcs traversant de S vers \bar{S} sont saturés et ceux de \bar{S} vers S portent du flot nul. (S, \bar{S}) est une **coupe minimum** et $|f| = c(S, \bar{S})$.

Ford–Fulkerson (rappel succinct)

```
f=0; construire G_f
tant qu'il existe un chemin P de s a t
  dans G_f:
    Delta = min{ c_f(e) : e dans P }
    augmenter f de Delta le long de P
    mettre a jour G_f
```

Complexités usuelles. FF naïf : peut être pseudo-polynomial. Edmonds–Karp (BFS dans G_f) : $\mathcal{O}(nm^2)$.

Application : Couplage maximum biparti

Soit $G = (X \cup Y, E)$ biparti. Construire le réseau :

- arcs $s \rightarrow x$ ($x \in X$) de capacité 1 ;
- arcs $x \rightarrow y$ pour $(x, y) \in E$ de capacité 1 ;
- arcs $y \rightarrow t$ ($y \in Y$) de capacité 1.

Tout flot f correspond à un **couplage** $C = \{(x, y) : f(x, y) = 1\}$. Max-flot = taille du couplage maximum.

Complexité (implémentation simple). $\mathcal{O}(mn)$; avec Hopcroft–Karp : $\mathcal{O}(\sqrt{n}m)$.

Théorème de Menger (version arcs)

Pour $a, b \in X$, soient $N_{a,b}$ le # minimal d'arcs à supprimer pour séparer a de b , et $P_{a,b}$ le # maximal de **chemins arc-disjoints** de a à b . Alors

$$N_{a,b} = P_{a,b}.$$

Idée de preuve. Réduction à un réseau : capacité 1 par arc, max-flot = # de chemins arc-disjoints, min-coupe = # d'arcs à retirer. Donc $P_{a,b} = N_{a,b}$.

Taille de codage & problèmes de décision

Une **instance** I est encodée binaire; $\text{taille}(I) = |I|$ (en bits).

Un **problème de décision** attend "oui/non". On dit qu'un algorithme est **polynomial** si son temps est majoré par $|I|^k$ pour un k constant.

Classes P et NP

- **P** : problèmes décidables en temps polynomial.
- **NP** : "vérifiables" en temps polynomial : si la réponse est "oui", il existe un **certificat** y de taille polynomiale vérifiable en $\text{poly}(|I|)$.

On sait $P \subseteq NP$. On ignore si $P = NP$.

Réductions polynomiales

$\Pi_1 \leq_P \Pi_2$ s'il existe une transformation polynomiale T telle que

$$I \in \Pi_1 \iff T(I) \in \Pi_2.$$

Si $\Pi_1 \leq_P \Pi_2$ et Π_2 est polynomiale, alors Π_1 l'est aussi.

NP-difficile / NP-complet

- **NP-difficile** : tout problème de NP s'y réduit.
- **NP-complet** : dans NP et NP-difficile.

Exemples classiques (NP-complétude)

- **3-SAT** : formule CNF à clauses de taille 3 satisfiable ?
- **PVC** (Vertex Cover) : existe-t-il k sommets couvrant toutes les arêtes ?
- **Stable/IS** : existe-t-il un ensemble stable (indépendant) de taille $\geq k$?
- **Clique** : existe-t-il une clique de taille $\geq k$?

Chaîne de réductions standard :

$$3\text{-SAT} \leq_P \text{Clique} \equiv_P \text{Stable} \leq_P \text{PVC}.$$

Donc **PVC**, **Stable** et **Clique** sont NP-complets (et de même pour 3-SAT).

Complexité de quelques algorithmes de flots

Ford–Fulkerson (chemins arbitraires)	pseudo-polynomial
Edmonds–Karp (BFS)	$\mathcal{O}(nm^2)$
Dinic (niveaux + blocs)	$\mathcal{O}(n^2m)$
Biparti (Hopcroft–Karp)	$\mathcal{O}(m\sqrt{n})$

Notes rapides de cours

- Dans la coupe min issue du marquage, les arcs retenus par la forte a - b -connectivité sont ceux franchissant $S \rightarrow \bar{S}$.
- Pour numéroter un DAG, on peut numéroter de 1 à n en suivant l'ordre topologique.
- Les tableaux de pères/distances (BF-S/DFS) suffisent à reconstruire des chemins.